

Torsional Interaction 狀態에 있는  
Turbo-發電機의 電氣的 特性

○ 李 殿 雄  
忠南大學校

The Electrical Characteristics of  
a Turbo-Generator during the State  
of Torsional Interaction

Lee Eun - Ung  
Chungnam Nat. Univ.

### 1. 序論

그림1과 같이 Turbine과 發電機가 축(shaft)로 연결되어 있는 발전계통에서는 Torsional spring  $K_{12}$ 가 存在하므로 振動이 발생한다.

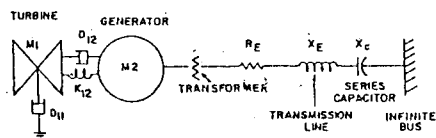


그림1. 직렬보상송전선로를 갖는 발전기의 전기. 기계적 역학도.

#### 이 Torsional 振動의 원인으로는

- 1) 發電氣의 電氣의 stiffness에 적응하기 위한 亂調(hunting) 현상으로 發電機의 振動이 축振動으로 되는 기계적 mode.
- 2) 전력계통의 직렬 L-C 회로에서 共振周波數 Torque로 인한 誘導發電(induction generation) 현상이 일어날 때의 자아자振動인 電氣的 mode.
- 3) 기계적 mode와 전기적 mode가 동시에 발생하는 경우가 있을 수 있다.

이와 같은 원인으로 발생한 Torsional 진동은 기계적 mode와 전기적 mode를 共存하게 하고 Torsional 주파수( $f_t$ )가 同期速度( $V_s$ )로 회전하는 回転子에 加減되며 때문에 Torsional 共振 周波數( $f_r = f_t$ )의 특성을 발생시킨다. 즉 축의 torsional mode는 축에 연결되어 있는 발전기 회전자의 계자작용 때문에 固定子의 모든 권선에 Torsional 주파수( $f_t$ )의 영향을 전달하게되어 固定子巻線에 perturbation 전압과 전류를 유기시키고 이 전류가 공극에 perturbation torque를 발생시킨다.

이 perturbation torque는 회전자 축에서

電氣系統을 볼 때 機械的 負制動(negative damping)으로 작용하게 되어 이 負制動이 正制動(positive damping)보다 크게될 때 축에 電氣的, 機械的으로 큰 stiffness 를 줄 뿐 아니라 발전계통을 不安定(unstable)하게하는 원인이 된다.

이와 같은 Torsional resonance interaction의 電氣的, 機械的 mechanism 이 아직까지 명확히 밝혀지지 않았지만 L-C 회로의 공진주파수( $f_e$ )와 Torsional 공진주파수( $f_r = f_t$ )가 대략 같을 때 불안정 상태가 발생한다는 것이 밝혀졌다.

그러므로 Torsional interaction의 원인을 정확히 力學的 해석(dynamic analysis)하는 것은 전력계통(power system)의 安全運轉과 안전운전을 위한 전력계통 및 發電機設計 자료를 창출해내기 위하여 매우 필요하게 되었다. 그래서 73년 美國의 Southern California의 Mohave 發電所의 축 파괴사고 이후 매우 활발히 연구되고 있다.

본 연구에서는 본 연구자가 참고문헌(6)에서 개발한 방법을 사용하여 turbo-발전기의 Torsional interaction 상태에서 발생하는 회전자 외류(eddy current)를 구하고 Maxwell magnetic stress tensor를 사용하여 定電流下에서의 힘을 구하여 比較検討하여 특성을 분석하였다. 그리고 고정자 impedance 와 여자(excited) impedance 등을 무시하고 입력정격값들(rated values)로 환산하여 model로 사용한 발전기의 회전자 저항  $R_x$ , reactance  $X_x$ 를 구하였다. 본 연구에 model로 사용한 발전기는 참고문헌(7)의 것이다.

### 2. 本論

그림2와 같은 원통구조(cylindrical

structures) 的 Turbo-발전기를 그림3 과 같이 直交座標(rectangular coordinate) 를 적용할 수 있도록 하므로써 Double Fourier series base로 解析되는 자기학 산방정식(magnetic diffusion equation) 을 물기에 용이하게 하였다.

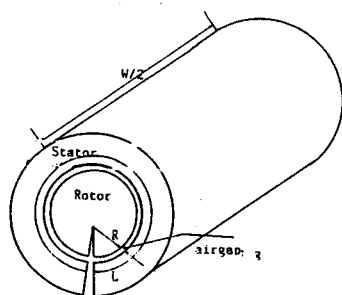


그림2. 원통좌표로 나타낸 turbo-발전기의 고정자와 동근회전자 구조.

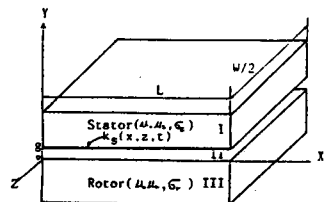


그림3. x,y,z cartensian 좌표계로 나타낸 고정자와 회전자 구조.

그림2를 그림3으로 변화하더라도 자기학 산방정식의 변수인 공극의 길이 $g$ , 발전기 속방향 길이  $W/2$ , 회전자들레  $L=2(R$ , 회전자 속도  $V_y$  등은 변함이 없다. 고정자 표면  $y = g$ 에서 고정자의 3相어자전류는 Double Fourier 급수로 해석하여 Torsional resonance frequency( $f = f_y + f_z$ )의 positive sequence  $\exp j(\alpha x - \omega t + rz)$ 의 基本波(fundamental wave)( $m=1, n=1$ ) 만의 面電流密度(surface current density)을 취급하였다.

고정자와 공극에서는 Quasi-static Approximation Maxwell 방정식,  $\nabla \times \tilde{H} = 0$ ,  $\nabla \cdot \tilde{B} = 0$  와 Laplace 방정식  $\nabla^2 \tilde{H} = 0$ 을 만족시키는 해(solution)를 얻을 수 있으며 이 해의

複素未係數(unknown complex coefficient)는 境界條件式을 풀므로써 얻어진다. 回転子에서는 工學의으로 同質材(homogeneous material)로 간주하고 이영역(region)에서 성립하는 Bullard 方程式의 해,  $\tilde{H}$ -界函數를 얻을 수 있다. 이 해에서 複素未係數 역시 境界條件式을 풀므로써 얻어지며 侵透깊이 (skin depth)를决定하는 Dispersion 方程式은 Torsional resonance frequency 인 Lower sideband( $\omega_y - \omega_b$ ),  $\omega_y$ , Upper side sideband( $\omega_y + \omega_b$ )의 합수로된다. 이와 같은 해석으로 얻어지는  $y = g$ 에서 固定子의 어자면전류밀도 와  $\tilde{H}$ -界의 관계,  $y = +\infty$ ,  $y = g$ ,  $y = 0$ ,  $y = -\infty$ 에서의  $\tilde{H}$ -界 합수의 複素係數  $y = 0, z = 0, z = \pm W/2$ 에서  $\tilde{H}$ -界와 回転子의 외류 관계등이 境界條件을 적용하므로써 聯立方程式이 얻어진다. 이 聯立方程式을 풀므로써 複素未係數들(unknown complex coefficients)을 얻고 Torsional interaction 상태에서의 회전자 외류를 얻을 수 있으며  $x, z$  성분의 2重積分 積으로 나타내지는 외류손  $P_1$ 을 얻을 수 있다. 그리고 이 외류순실은 直交特性의 2重Fourier 급수 成分으로 이루어졌으므로 Parseval定理를 적용할 수 있어 쉽게 구해진다. 이와 같은 과정으로 구하여 單位法(per unit method)으로 表示한 電氣的 特性을 그림으로 나타내면 외류손 ( $P_1$ )은 그림4와 같고 회전자 저항( $R_s$ )은 그림5와 같으며 회전자 reactance( $X_s$ )는 그림6과 같다.

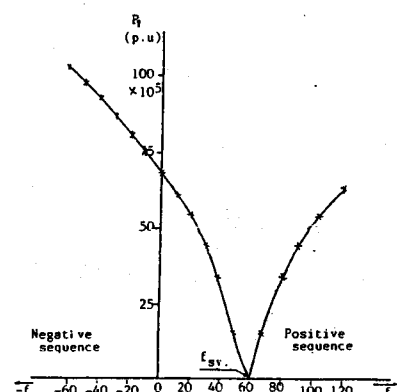


그림4. Torsional 공진주파수 대 외류손

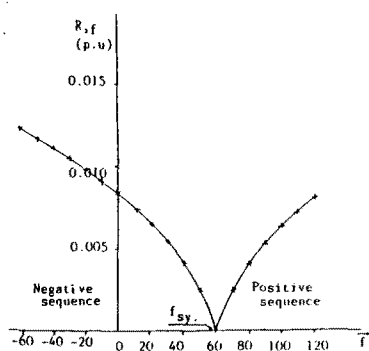


그림5. Torsional 공진주파수 대 회전자 저항.

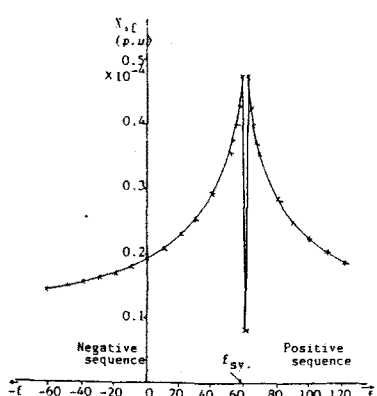


그림6. Torsional 공진주파수 대 회전자 reactance.

그리고 Maxwell magnetic stress tensor를 적용하여 回転子 表面의 힘을 나타내면 그림7과 같다.

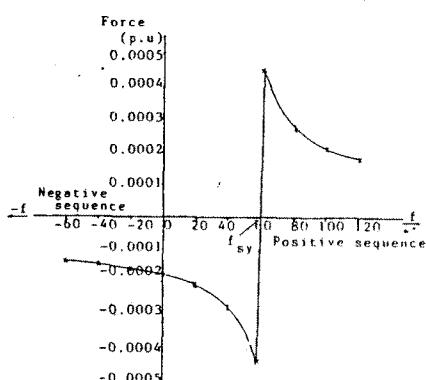


그림7.Torsional 공진주파수 대 힘

이 힘과 앞에서 구한 와류순과의 관계를同一한 Torsional resonance frequency ( $f = \frac{f_{sy}}{\sqrt{1 + \frac{R_N}{X_N}}}$ )에서 검토하면  
 $\text{force} = P_1/(v_m - \alpha)$  가 成立되  
 기 때문에 誘導器의 특성과一致함을  
 을 알 수 있으며 이로 인하여 이론의  
 타당성이 인정된다.

### 3. 結論

發電系統의 Torsional interaction 현상에서 Torsional resonance frequency에 따른 Turbo-發電機의 電氣的 特性을 Double Fourier series base로 해석하면 다음과 같은 결과를 얻었다.

- 1)回転子의 와류순
- 2)固定子의 저항 및 reactance, 이자 impedance 를 무시하고 1차 定格으로 환산한 회전자 저항  $R_N$ , 회전자 reactance  $X_N$ .
- 3)回転子 表面에 발생하는 Torsional force.
- 4)同期速度( $f_{sy}$ )에서도 자기에너지 存在.
- 5)와류순과 Torsional force 사이의 관계에서 유도기 특성과 유사함을 확인하였다.

### 4. 參考文獻

- 1) C.E.J. Bowler, D.N. Ewart, C. Concordia, "Self-Excited Torsional Frequency Oscillations with Series Capacitors", IEEE Trans., Vol.PAS-92, No.5, pp.1112-1119, 1973
- 2) L.A. Kilgore, D.G. Ramey, M.C. Hall, "Simplified Transmission and Generation System Analysis Procedures for Subsynchronous Resonance Problems", IEEE Trans., Vol.PAS-96, No.6, pp.1840-1846, 1977
- 3) H. Rustebakke, C. Concordia, "Self-Excited Oscillations in Transmission System using Series Capacitors", IEEE Trans., Vol.PAS-89, No.7, pp. 1504-1512, 1970
- 4) IEEE Joint Working Group, "Current Usage and Suggested Practices in Power System Stability Simulations"

- for Synchronous Machines", IEEE Trans.  
Vol. EC-1, No. 1, pp. 77-93, 1986
- 5) J.W. Ballence, S. Goldberg, "Subsynchro-  
nous Resonance in Series Compensa-  
ted Transmission Lines", IEEE Trans.,  
Vol. PAS -92, No. 5, pp. 1649-1658, 1973
- 6) 李 殿 雄, "誘導發電 狀態에 있는  
同期發電機의 舞弊", 大韓電氣學會誌  
Vol. 36, No. 2, pp. 88-98, 1987
- 7) V.P. Anempodistov, E.G. Kossharskii,  
I.D. Urusov, "Problems in the Design  
and Development of 750 MW Turbo-  
generator", Macmillan, N.Y., 1963